

# Rapport de Projet : Modèles de Diffusion

Implémentation d'un processus de génération par diffusion

Lesech Erwann, Le Riboter Aymeric  
EPITA SCIA-G

10 janvier 2026

## Introduction

Ce projet s'inscrit dans le cadre du cours de processus stochastiques et vise à implémenter un modèle génératif basé sur un processus de diffusion. Notre objectif était de comprendre et de mettre en pratique les mécanismes théoriques des modèles de diffusion probabilistes, en partant d'un cas simple pour progressivement augmenter la complexité des données traitées. Nous avons débuté par une preuve de concept sur des données bidimensionnelles, puis étendu notre approche à la génération d'images en niveaux de gris avec le dataset MNIST, avant de finaliser avec des images RGB du dataset CIFAR-10. Ce rapport présente notre démarche méthodologique, les obstacles rencontrés durant le développement et les résultats obtenus à chaque étape.

## 1 Fondements théoriques et approche méthodologique

Les modèles de diffusion reposent sur l'idée d'apprendre à inverser un processus de bruitage progressif appliqué aux données. Le processus direct, appelé *forward process* ou processus de bruitage, transforme graduellement une donnée  $x_0$  issue de la distribution des données en un bruit gaussien pur  $x_T \sim \mathcal{N}(0, I)$ . Cette transformation suit une dynamique de Langevin discrète où chaque étape ajoute un bruit gaussien contrôlé par un paramètre  $\sigma_t$ . Formellement, nous avons :  $x_t = \sqrt{\sigma_t}x_{t-1} + \sqrt{1-\sigma_t}\xi$  où  $\xi \sim \mathcal{N}(0, I)$ . En développant récursivement cette relation, on obtient une expression directe de  $x_t$  en fonction de  $x_0$  :  $x_t = \sqrt{\bar{\alpha}_t}x_0 + \sqrt{1-\bar{\alpha}_t}\xi_0$  avec  $\bar{\alpha}_t = \prod_{i=1}^t \sigma_i$  le produit cumulé des coefficients.

Le défi principal consiste à inverser ce processus pour générer de nouvelles données en partant d'un bruit aléatoire. Contrairement au processus de bruitage qui est direct et ne nécessite aucun apprentissage, le processus inverse requiert d'estimer la distribution conditionnelle  $p(x_{t-1}|x_t)$  qui n'est pas connue analytiquement. Nous avons alors décidé d'entraîner un réseau de neurones  $\epsilon_\theta(x_t, t)$  pour prédire le bruit  $\xi_0$  ayant été ajouté lors du processus de bruitage. Cette reformulation transforme le problème de débruitage en un problème de régression supervisée où la fonction de perte est simplement l'erreur quadratique moyenne entre le bruit réel et le bruit prédict :  $L = \|\xi_0 - \epsilon_\theta(x_t, t)\|^2$ . L'avantage de cette approche est que prédire le bruit est plus stable

numériquement que de prédire directement la donnée débruitée, car le bruit suit une distribution gaussienne standard.

## 2 Démarche progressive : du simple au complexe

Nous avons structuré notre projet en trois phases distinctes, chacune apportant son lot de défis et d'enseignements. Cette approche incrémentale nous a permis de valider les concepts théoriques avant de les appliquer à des données plus complexes.

### 2.1 Phase 1 : Preuve de concept avec la diffusion 2D

Notre point de départ a été le projet ToyDiffusion<sup>1</sup>, qui implémente un modèle de diffusion pour générer des distributions de points en deux dimensions. Nous avons utilisé ce code comme base pour comprendre le fonctionnement concret des algorithmes d'entraînement et de génération.

Nous avons adapté le code initial en implémentant rigoureusement l'algorithme d'entraînement décrit dans le cours. L'algorithme consiste à sélectionner aléatoirement un échantillon  $x_0$  de la distribution des données, tirer uniformément un pas de temps  $t \in \{1, \dots, T\}$ , générer un bruit gaussien  $\xi_0$ , calculer  $x_t$  selon la formule du forward process, puis effectuer une descente de gradient sur la fonction de perte. Pour cette phase, nous avons utilisé un simple perceptron multicouches (MLP) comme architecture de réseau, avec des embeddings sinusoïdaux pour encoder le pas de temps  $t$ . Ces embeddings permettent au réseau de distinguer les différents niveaux de bruit et d'adapter sa prédiction en conséquence.

### 2.2 Phase 2 : Extension aux images avec MNIST

Fort de notre compréhension acquise sur les données 2D, nous avons entrepris la génération d'images en utilisant le dataset MNIST de chiffres manuscrits. Cette transition a nécessité plusieurs adaptations importantes. Premièrement, l'architecture du réseau : nous sommes passés d'un MLP à un U-Net, une architecture convolutionnelle spécialement conçue pour les tâches de génération d'images.

Nous avons débuté avec des images de faible résolution ( $16 \times 16$  pixels) pour limiter les coûts de calcul et accélérer les itérations de développement. Nous nous sommes d'ailleurs limités initialement à la génération d'une seule classe de chiffres (le chiffre 6) pour simplifier le problème. Cette approche uni-classe nous a permis de valider notre implémentation et d'ajuster les hyperparamètres avant de généraliser à toutes les classes.

Notre première approche utilisait un schedule linéaire avec  $\sigma_t$  variant de 0.0001 à 0.2 sur 50 étapes. Les résultats montraient une tendance à générer des images trop floues, suggérant que le modèle avait du mal à capturer les détails fins. Après analyse, nous avons réalisé que ce schedule était trop agressif : le bruit s'accumulait trop rapidement, rendant l'inversion difficile. Nous avons donc expérimenté avec des schedules plus doux en réduisant la borne supérieure à 0.02

---

<sup>1</sup><https://github.com/ThiagoLira/ToyDiffusion/tree/main>

et en augmentant le nombre d'étapes à 1000. Cette modification a significativement amélioré la netteté des images générées.

### 2.3 Phase 3 : Généralisation avec CIFAR-10

La dernière phase du projet consistait à appliquer notre approche à des images RGB de résolution  $32 \times 32$  issues du dataset CIFAR-10. Cette transition vers des images couleur a triplé la dimensionnalité des données (passage de 1 canal à 3 canaux), augmentant considérablement la complexité du problème d'apprentissage. De plus, CIFAR-10 contient des images bien plus variées que MNIST (avions, voitures, animaux, etc.), ce qui représente un défi supplémentaire pour le modèle.

Nous avons adapté notre architecture U-Net pour traiter des entrées à 3 canaux. L'entraînement s'est révélé plus long et plus instable que pour MNIST. Nous avons observé que le modèle avait tendance à générer des images très floues et manquant de cohérence structurelle. Cette difficulté s'explique par deux facteurs : d'une part, la diversité des classes dans CIFAR-10 avec 3 canaux de couleurs rend la distribution des données plus ardu ; d'autre part, la résolution accrue amplifie les erreurs de prédiction du bruit.

Pour améliorer les résultats, TODO

## 3 Obstacles rencontrés et solutions apportées

Au cours de ce projet, nous avons rencontré plusieurs difficultés techniques. La première difficulté majeure concernait l'implémentation correcte du bruitage. Nous avons initialement commis l'erreur de calculer  $x_t$  en appliquant récursivement la formule  $x_t = \sqrt{\sigma_t}x_{t-1} + \sqrt{1-\sigma_t}\xi$  à partir de  $x_0$ , ce qui était inefficace. Après relecture du cours, nous avons compris qu'il fallait utiliser la formule utilisant directement  $x_0$ , ce qui a considérablement simplifié le code et amélioré les performances.

Une autre difficulté concernait le choix des hyperparamètres, en particulier le schedule de bruit. Nous avons constaté empiriquement qu'un schedule trop agressif (avec des valeurs de  $\sigma_t$  décroissant rapidement) rendait le processus inverse très difficile à apprendre, tandis qu'un schedule trop conservateur nécessitait un nombre d'étapes prohibitif. Le compromis optimal dépend fortement de la complexité des données : MNIST tolère des schedules plus agressifs étant des images en noir et blanc d'une dimensionnalité plus faible que CIFAR-10. Nous avons finalement évalué visuellement la qualité des échantillons générés à différentes étapes de l'entraînement.

Enfin, sur le plan computationnel, l'entraînement des modèles, particulièrement pour CIFAR-10, s'est révélé très coûteux en temps de calcul. Sans accès à des GPUs performants, chaque expérience nécessitait plusieurs heures d'entraînement, ce qui a limité le nombre de configurations que nous avons pu tester. Nous avons pallié cette limitation en effectuant d'abord des tests sur de petits sous-ensembles de données.

## 4 Résultats et analyse

Les résultats obtenus valident la faisabilité de notre approche sur différents types de données, tout en révélant les limites inhérentes aux contraintes computationnelles et à la complexité des données.

### 4.1 Évaluation quantitative : la métrique FID

Pour évaluer objectivement la qualité des images générées, nous avons utilisé la métrique Fréchet Inception Distance (FID). Cette métrique mesure la distance entre la distribution des images générées et celle des images réelles. Concrètement, le FID calcule la distance de Fréchet entre deux distributions gaussiennes. Mathématiquement, le FID est défini comme suit :

$$\text{FID} = \|\mu_r - \mu_g\|^2 + \text{Tr} \left( \Sigma_r + \Sigma_g - 2\sqrt{\Sigma_r \Sigma_g} \right)$$

où  $\mu_r$  et  $\Sigma_r$  sont la moyenne et la matrice de covariance des features des images réelles, et  $\mu_g$  et  $\Sigma_g$  celles des images générées. Un FID plus faible indique une meilleure qualité de génération, avec des valeurs proches de zéro signifiant que les distributions réelles et générées sont quasiment identiques.

### 4.2 Résultats sur les données 2D

Pour la diffusion 2D, le modèle a réussi à reproduire une distribution cible similaire. On arrive à retrouver le chiffre 6.

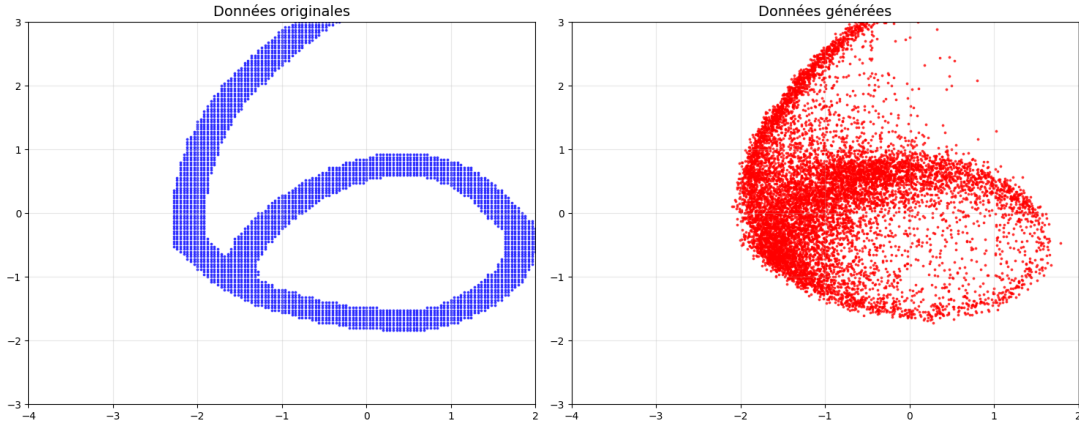


Figure 1: Visualisation du 6 original et du 6 généré par le modèle de diffusion 2D. Le modèle capture bien la forme générale et la variabilité des données.

### 4.3 Résultats sur MNIST

Sur MNIST en  $16 \times 16$ , nous avons adopté une approche progressive en deux étapes. Dans un premier temps, nous avons développé un modèle uni-classe focalisé uniquement sur la génération du chiffre 6. Cette approche ciblée nous a permis de valider notre implémentation et d'optimiser les hyperparamètres sur un problème de complexité réduite. Le modèle uni-classe a rapidement

convergé et générait des chiffres 6 de qualité satisfaisante après seulement 100 époques d'entraînement. Cette expérience nous a permis d'affiner notre compréhension du schedule de bruit et du nombre d'étapes de débruitage optimal.

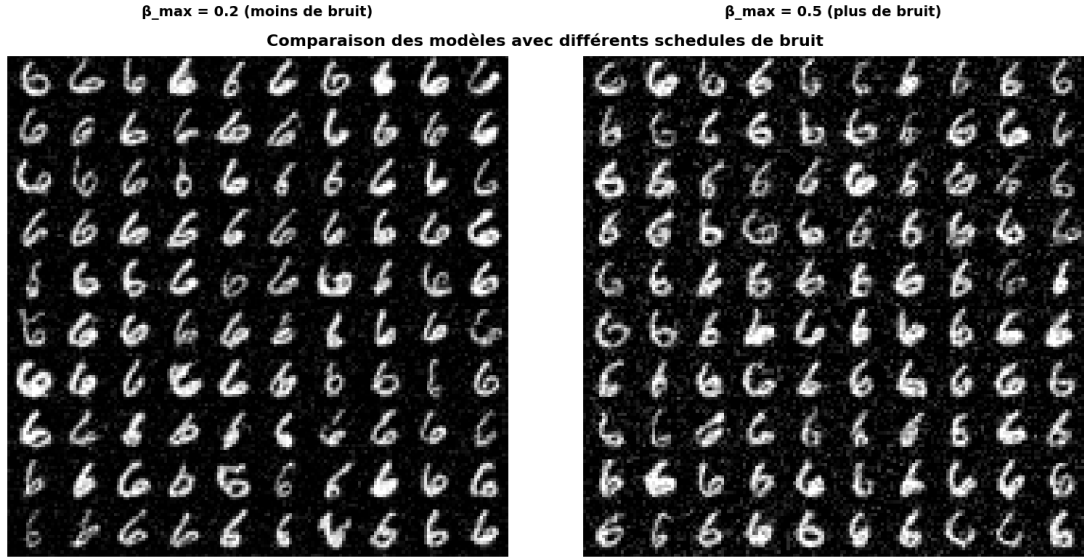


Figure 2: Échantillons générés par le modèle uni-classe (chiffre 6) avec deux schedules de bruit différents.

Vous pouvez observer les résultats intermédiaires de reconstruction à différentes étapes de débruitage ci-dessous :

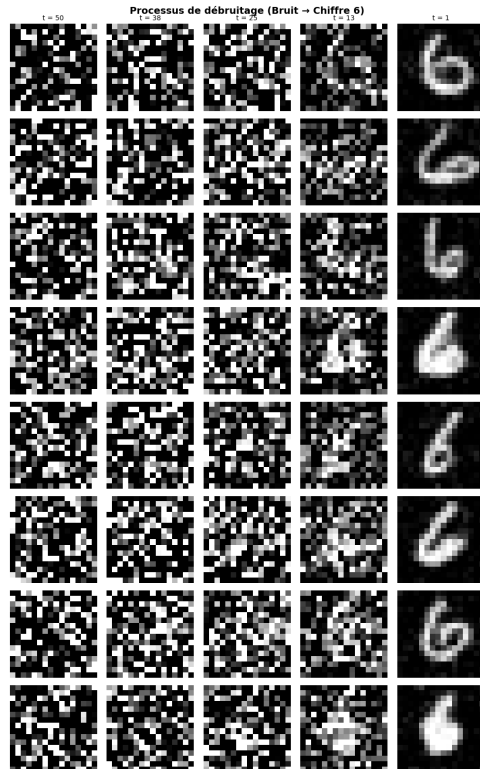


Figure 3: Processus de débruitage du modèle uni-classe.

Fort de cette réussite, nous avons ensuite étendu notre approche à un modèle multi-classe capable

de générer n'importe quel chiffre de 0 à 9.

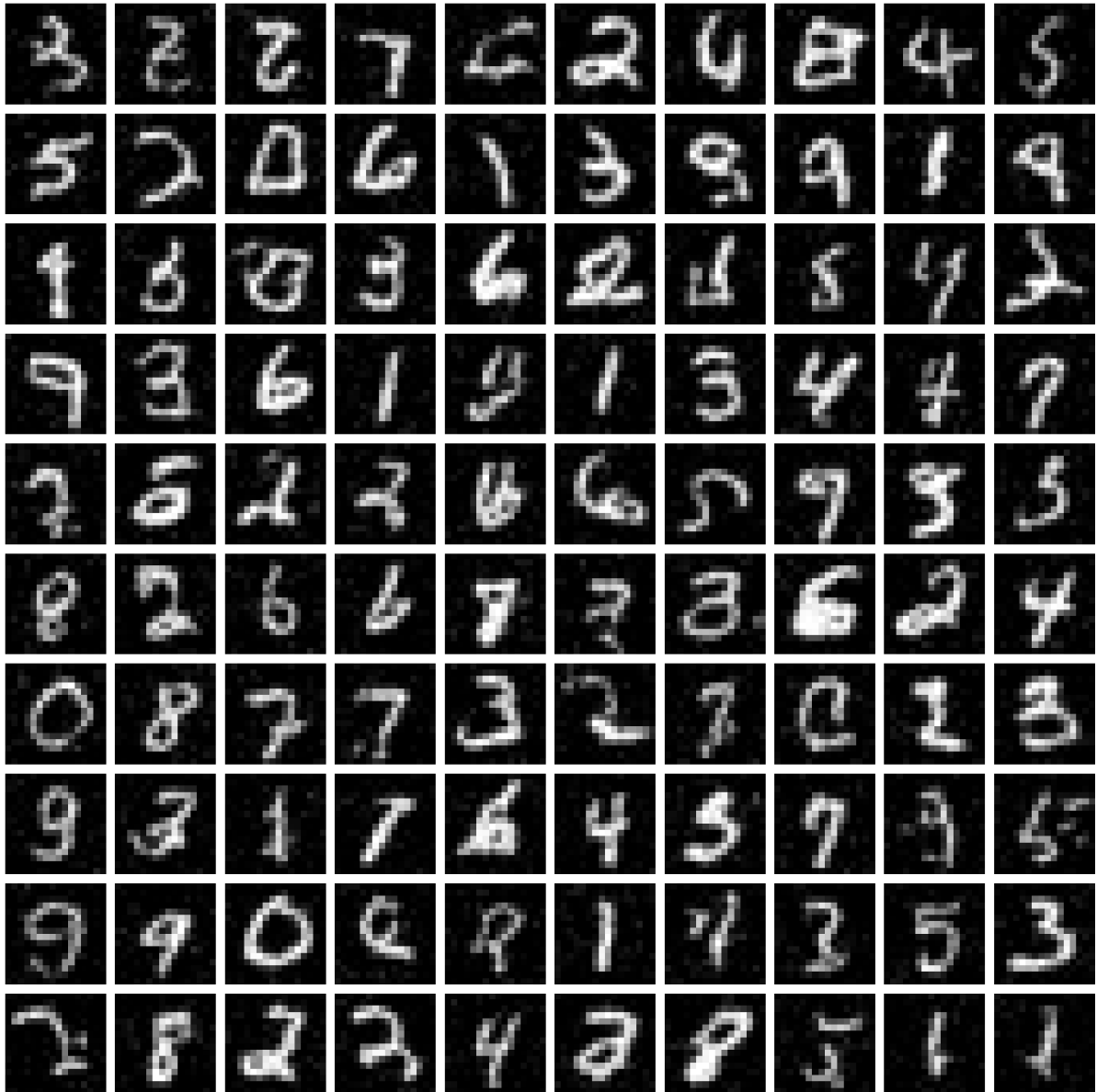


Figure 4: Échantillons générés par le modèle multi-classe pour chaque chiffre de 0 à 9.

#### 4.4 Résultats sur CIFAR-10

Les résultats sur CIFAR-10 sont plus mitigés. Bien que le modèle génère des images qui possèdent des structures de couleurs cohérentes et suggèrent parfois la présence d'objets, la netteté reste limitée et les détails fins sont absents. Cette différence de performance par rapport à MNIST s'explique par plusieurs facteurs : la dimensionnalité accrue (3 canaux versus 1), la plus grande variabilité inter-classes de CIFAR-10, et les limitations de notre architecture U-Net relativement simple. Les modèles de diffusion de pointe pour CIFAR-10 utilisent des U-Nets beaucoup plus profonds avec des mécanismes d'attention et sont entraînés sur des centaines de milliers d'itérations, ce qui dépasse largement nos ressources disponibles.

## Conclusion

Ce projet nous a permis de comprendre en profondeur le fonctionnement des modèles de diffusion, depuis les fondements mathématiques jusqu'aux détails pratiques de l'implémentation. Notre démarche progressive, partant de données 2D simples pour aboutir à des images RGB complexes, nous a confrontés aux défis réels de l'apprentissage génératif : choix des hyperparamètres, stabilité numérique, coût computationnel et compromis qualité-efficacité. Les résultats obtenus, bien qu'imparfaits pour CIFAR-10, démontrent que nous avons acquis une bonne compréhension des mécanismes de diffusion et les capacités nécessaires pour implémenter ces concepts.